

УДК 539.211+541.183.5

© 1991

ВЗАИМОДЕЙСТВИЕ АДСОРБИРОВАННЫХ АТОМОВ БАРИЯ НА ГРАНИ (112) МОНОКРИСТАЛЛА ТАНТАЛА

*В. К. Медведев, Т. П. Смерека, И. М. Убогий,
Я. Б. Лозовый, Г. В. Бабкин*

Методами дифракции медленных электронов и контактной разности потенциалов изучены структура, работа выхода φ и теплота адсорбции q бария на грани Ta(112). В области покрытий $0.25 < \vartheta \leq 0.5$ (ϑ — отношение концентрации атомов Ta на грани (112)) наблюдается рост островков структуры $c(2 \times 2)$. При $\vartheta > 0.5$ и вплоть до монослоистого покрытия ($\vartheta = 0.73$) происходит одномерное сжатие пленки Ba, сохраняющей центрированную структуру, вдоль направления атомных бороздок на поверхности грани Ta(112). Наблюдается корреляция в изменениях структуры, работы выхода и теплоты адсорбции. В области фазового перехода первого рода (рост островков структуры $c(2 \times 2)$) φ изменяется линейно с ϑ , а q изменяется слабо. Более резко q изменяется в области одномерного сжатия адсорбированной пленки Ba. Проведено сравнение структуры и адсорбционных характеристик пленок Ba на гранях (112) Ta, Mo и W и гранях (1010) Re. Установлено сильное влияние частично заполненных электронных поверхностных состояний на теплоту адсорбции и непрямое взаимодействие адатомов на металлической поверхности.

Взаимодействие адсорбированных атомов через подложку [1-4] сильно зависит от электронной структуры как подложки, так и адсорбата. В целях дальнейшего выяснения зависимости этого взаимодействия от электронной структуры подложки в настоящей работе проведено исследование структуры, работы выхода и термической устойчивости пленок бария на грани Ta(112). Из теоретических исследований взаимодействия адатомов через подложку следует, что оно может осуществляться как через объемные электронные состояния, так и через частично заполненные поверхностные электронные состояния. Взаимодействие через последние, по-видимому, должно быть определяющим при образовании цепочечных структур. Так, на бороздчатых гранях W(112) и Mo(112), на которых, исходя из теоретических расчетов электронной структуры граней (100) и (110) этих металлов [5-7], должны быть частично заполненные поверхностные электронные состояния, ряд элементов образует линейные цепочки в направлении [110], свидетельствующие о сильном притягивающем взаимодействии адатомов через подложку в этом направлении. В то же время исследование адсорбции Li на грани Ta(112), имеющей такую же структуру [8], показало, что эффекты непрямого взаимодействия адатомов выражены намного слабее. На грани Ta(112) частично заполненные поверхностные электронные состояния, по-видимому, отсутствуют, так как они отсутствуют на грани Ta(100) [9]. Поэтому представляет интерес исследование на грани Ta(112) адсорбции атомов бария, которые при малых покрытиях образуют на грани W(112) зигзагообразные цепочки, на грани Mo(112) — линейные цепочки в направлении поперек атомных бороздок этих граней, а на грани Re(1010), начиная с небольших концентраций адатомов Ba, наблюдается рост островков структуры $c(2 \times 2)$ [10, 11].

Структура пленок исследовалась методом дифракции медленных электронов, работа выхода φ измерялась методом контактной разности потенциалов в варианте Аандерсона, теплота адсорбции q определялась по изо-

барам адсорбции. Образец тантала в виде пластины размерами $4 \times 0.5 \times 10$ мм вырезался из монокристалла тантала параллельно грани (112) с точностью $\sim 20'$. После механической полировки пластина электрополированась в смеси серной (удельный вес 1.84) и плавиковой (48 %) кислот при соотношении 9:1 соответственно. При электрополировке использовался графитовый катод, плотность тока $\sim 10 \div 20$ А/см². Образец тщательно обезгаживался в вакууме прогревом при $T \sim 2500$ К в течение ~ 50 ч. Источник бария представлял собой таблетки «Бати», нагреваемые в кнудсеновской танталовой камере. Давление адсорбционно-активных компонент остаточных газов во время эксперимента $\sim 10^{-11} \div 10^{-12}$ Торр.

1. Результаты эксперимента

Структура пленок бария. Схемы структурных переходов в пленках бария на грани (112) кристалла тантала, охлажденного до температуры жидкого азота, приведены на рис. 1. Отметим, что отжиг кри-

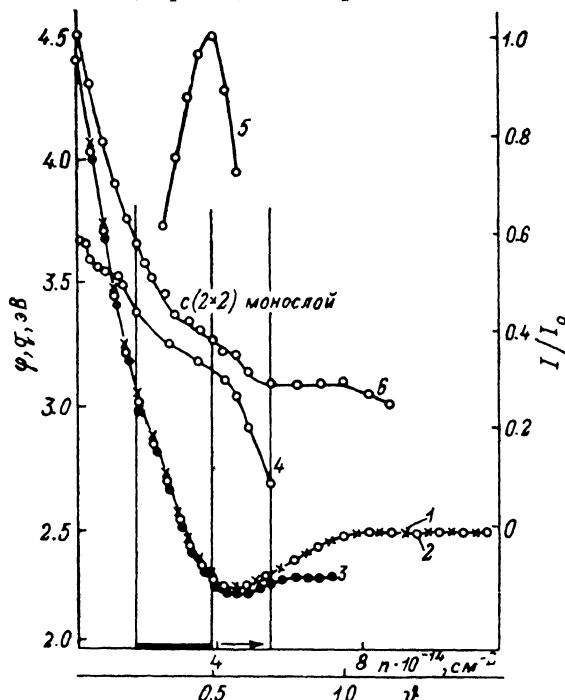


Рис. 1. Зависимости работы выхода ϕ (1—3), теплоты адсорбции q (4) и интенсивности рефлексов I структуры $c(2 \times 2)$ (рефлекс $(1/2, 1/2)$) (5), чистой грани Та(112) (рефлекс $(0, -1)$) (6) от концентрации n (покрытия θ) бария на грани Та(112).

$T, K: 1 - 77, 2 - 300, 3 - 600.$

сталла при 300—400 К с последующим охлаждением до 77 К заметно увеличивает степень упорядоченности пленок бария ($\sim 20\%$). Дифракционные картины системы Ва—Та(112) в первом слое практически такие же, как и дифракционные картины системы Ва—Re(1010) [11]. Начиная с $\theta = 0.25$ ($\theta = n/n_{Ta}$; n — концентрация адсорбированных атомов Ва; n_{Ta} — поверхностная концентрация атомов Та на грани (112), равная $7.48 \cdot 10^{14} \text{ см}^{-2}$) в адсорбированных пленках Ва появляются островки структуры $c(2 \times 2)$, которая при $\theta = 0.5$ заполняет всю подложку. При дальнейшем увеличении покрытия ($\theta > 0.5$) и вплоть до образования монослойного покрытия ($\theta = 0.73$) наблюдается одномерное сжатие пленки Ва вдоль атомных бороздок грани Та(112). Структура пленки центрированная, т. е. ряды атомов Ва в соседних бороздках грани Та(112) сдвинуты относительно друг друга на половину постоянной решетки пленки в направ-

лении [111]. Постоянная решетки пленки бария в направлении [111] при монослойном покрытии равна 3.92 Å, что на ~10 % меньше межатомного расстояния в собственной решетке бария (4.34 Å). Таким образом, пленка бария довольно сильно сжата в направлении [111]. Это аналогично сжатию пленок бария на гранях W(112) [10], Mo(112) и Re(1010) [11]. Явление «сжатия» атомов на грани Ta(112) наблюдалось также при адсорбции Li [8].

После заполнения первого слоя дальнейшее напыление бария приводит к постоянному уменьшению интенсивности как дополнительных, так и основных рефлексов (рис. 1, кривая 6). По-видимому, структура поверхности грани Ta(112) не благоприятствует росту эпитаксиальной пленки бария на этой грани.

Работа выхода и температура адсорбции. На рис. 1 приведены зависимости работы выхода грани Ta(112) от количества напыленных атомов бария, измеренные в различных условиях (кривая 1 соответствует напылению Ba и измерению φ при температуре кристалла, равной 77 К; кривая 2 — напыление бария и измерение φ проводилось при 300 К; кривая 3 — барий напылялся при 600 К, φ измерялась при 77 К). Для калибровки потока атомов бария мы использовали время до-

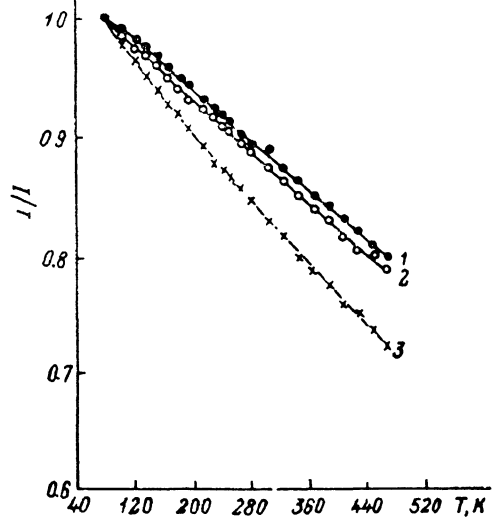


Рис. 2. Температурные зависимости интенсивности I рефлексов структур системы Ba—Ta(112).

1 — чистая грань Ta(112) (рефлекс $(0, -1)$); 2 — $c(2 \times 2)$ (рефлекс $(1/2, 1/2)$); 3 — рефлекс $(1/2, 0.7)$. I_0 — интенсивность рефлексов при 77 К.

стижения максимума интенсивности J дополнительных рефлексов структуры $c(2 \times 2)$ при непрерывном напылении Ba на поверхность. Как видно из рис. 1, кривые 1, 2 практически совпадают во всем изученном интервале покрытий, кривая 3 стремится к постоянному значению φ после φ_{\min} , что связано с испарением бария из второго слоя. Из рис. 1 видно также, что стехиометрическая структура $c(2 \times 2)$ образуется раньше, чем достигается минимум φ , а после окончания застройки первого слоя Ba работа выхода еще существенно изменяется. Наблюдается корреляция в изменении структуры, работы выхода и теплоты адсорбции. В области фазового перехода первого рода (рост островков структуры $c(2 \times 2)$) φ изменяется линейно с θ , а теплота адсорбции изменяется слабо. Более резко q изменяется в области одномерного сжатия адсорбированной пленки бария.

2. Термическая стабильность поверхностных структур

На рис. 2 приведены температурные зависимости интенсивности дополнительных рефлексов наблюдаемых структур адсплеков бария, из которых получали информацию о температурной стабильности соответствующих структур. Интенсивности пленок строились в относительном масштабе J/J_0 , где J_0 — интенсивность пятна при 77 К. Как видно из этого рисунка, структура $c(2 \times 2)$ и структура заполненного первого слоя стабильны в широком температурном интервале. Их рефлексы видны даже при температурах, при которых начинается испарение бария. Спад ин-

тенсивности дополнительных рефлексов этих структур с температурой, как и спад интенсивности основных рефлексов чистого тантала, по-видимому, определяется тепловыми колебаниями поверхностных атомов — фактором Дебая—Валлера. Подобное наблюдалось при адсорбции Ва на гранях W(112) [10] и Mo(112) [11].

3. Обсуждение результатов

Исследование адсорбции бария на бороздчатых гранях W(112) [10], Mo(112), Re(1010) [11, 12] и Ta(112) позволяет проследить влияние частично заполненных поверхностных электронных состояний на взаимодействие атомов через подложку. При малых покрытиях атомы бария на грани W(112) образуют структуру (2×6) , на грани Mo(112) — структуру $p(1 \times 5)$, в которых они выстраиваются соответственно в зигзагообразные и линейные цепочки вдоль направления $\langle\bar{1}10\rangle$. Причиной того, что на вольфраме цепочки являются зигзагообразными, а на молибдене — линейными, может быть разная величина дипольного момента атома Ва (~ 4.4 Д на W(112) и ~ 3.6 Д на Mo(112)). Однако независимо от конкретного вида цепочек сам факт их образования указывает на наличие сильного притягательного взаимодействия между атомами в цепочке. Источником сил притяжения служит взаимодействие атомов через электронный газ подложки [1], которое, в частности, может осуществляться на этих гранях через частично заполненные поверхностные электронные состояния.

На грани Re(1010) цепочки атомов Ва отсутствуют, вероятно, из-за большого дипольного момента атомов (~ 5.1 Д). Определенную роль также может играть отличие поверхностных электронных состояний на гранях W(112), Mo(112) и Re(1010). На поверхности рения роль анизотропных по пространственному распределению электронной плотности d -образных поверхностных электронных состояний должна быть слабее, чем на поверхности вольфрама и молибдена. Это связано с тем, что в рении, имеющем ГПУ-решетку, силы межатомного взаимодействия должны быть более изотропными, чем в вольфраме и молибдене с ОЦК-решеткой.

На грани Ta(112), на которой локализованных d -образных незаполненных поверхностных электронных состояний, по-видимому, нет, атомы Ва при малых покрытиях не образуют цепочек, хотя их дипольный момент (~ 3 Д), определяющий величину, диполь-дипольного отталкивания, меньше, чем на гранях W(112) и Mo(112).

Отсутствие на поверхности грани Ta(112) незаполненных поверхностных электронных состояний проявляется и в других свойствах системы Ва—Ta(112). Начальная теплота адсорбции бария на этой грани (~ 3.65 эВ) значительно меньше, чем на гранях Mo(112) (~ 4.25 эВ), W(112) (~ 4.5 эВ) и Re(1010) (~ 4.8 эВ). Теплота адсорбции бария при покрытии, соответствующем структуре $c(2 \times 2)$, на тантале (~ 3.15 эВ) значительно меньше, чем на вольфраме (~ 3.7 эВ) и на рении (~ 3.9 эВ) (в пленках Ва на грани Mo(112) структура $c(2 \times 2)$ не образуется). Минимум работы выхода в системе Ва—Ta(112) в отличие от многих других систем [1] не соответствует наиболее плотной, согласованной с подложкой, структуре $c(2 \times 2)$.

Таким образом, приведенные факты свидетельствуют о сильном влиянии частично заполненных электронных поверхностных состояний на теплоту адсорбции и непрямое взаимодействие адсорбированных атомов.

Список литературы

- [1] Браун О. М., Медведев В. К. // УФН. 1989. Т. 157. № 4. С. 631—666.
- [2] Гончар Ф. М., Медведев В. К., Смерека Т. П., Лозовый Я. Б., Бабкин Г. В. // ФТТ. 1987. Т. 29. № 9. С. 2833—2836.
- [3] Гончар Ф. М., Смерека Т. П., Степановский С. И., Бабкин Г. В. // ФТТ. 1988. Т. 30. № 12. С. 3541—3544.
- [4] Гончар Ф. М., Медведев В. К., Смерека Т. П., Савичев В. В. // ФТТ. 1989. Т. 31. № 6. С. 249—252.
- [5] Kerkel G. P., Ho K. M., Cohen M. L. // Phys. Rev. B. 1978. V. 18. N 3. P. 5473—5483.

- [6] Posternak M., Krakauer H., Freeman A. J., Koelling D. D. // Phys. Rev. B. 1980. V. 21. N 12. P. 5602—5612.
- [7] Homes M. W., Ingelsfield J. E. // Surf. Sci. 1979. V. 89. № 1 P. 133—141.
- [8] Медведев В. К., Смерека Т. П., Убогий И. М., Лозовый Я. Б., Бабкин Г. В. // Тез. докл. Всес. конф. «Поверхность-89». Черноголовка, 1989. С. 75.
- [9] Krakauer H. // Phys. Rev. B. 1984. V. 30. N 12. P. 6834—6840.
- [10] Медведев В. К., Смерека Т. П. // ФТТ. 1973. Т. 15. № 3. С. 724—732.
- [11] Медведев В. К., Яковкин И. Н. // ФТТ. 1981. Т. 23. № 3. С. 669—677.
- [12] Лах К. И., Стасюк З. В. // УФЖ. 1982. Т. 27. № 1. С. 146—147.

Львовский государственный университет
им. И. Франко

Поступило в Редакцию
2 июля 1990 г.